# Стохастические системы

© 2025 г. С.Л. СЕМАКОВ, д-р физ.-мат. наук (slsemakov@yandex.ru) (Научно-исследовательский университет "Высшая школа экономики", Москва; Московский физико-технический институт)

# ОБ ОДНОЙ ЗАДАЧЕ, СВЯЗАННОЙ С МОМЕНТОМ ПЕРВОГО ДОСТИЖЕНИЯ ЗАДАННОГО УРОВНЯ СЛУЧАЙНЫМ ПРОЦЕССОМ

Рассматривается задача оценки вероятности события, состоящего в том, что первое достижение заданного уровня непрерывным случайным процессом произойдет в какой-либо момент из заданного промежутка изменения независимой переменной. Ранее полученные результаты общего характера конкретизируются для гауссовского гладкого процесса. Приводятся результаты численных расчетов оценок при различных параметрах процесса.

Ключевые слова: вероятность, случайный процесс, пересечение уровня.

**DOI:** 10.7868/S2413977725120053

### 1. Введение, постановка задачи и ранее полученные результаты

Пусть  $\xi(x)$  – непрерывный с вероятностью 1 случайный процесс, y – заданное число. В качестве области определения процесса  $\xi(t)$  будем рассматривать два промежутка: а) полуинтервал  $(x_0, x'']$  или б) отрезок  $[x_0, x'']$ . В случае а) будем считать, что выполнено условие

(1) 
$$\lim_{x \to x_0} \mathbf{P}\{\xi(x) > y\} = 1,$$

причем в качестве  $x_0$  может выступать как конечное число, так и  $-\infty$ . В случае б) будем считать, что выполнено условие  $\mathbf{P}\{\xi(x_0) > y\} = 1$ .

Рассмотрим произвольное значение  $x' \in (x_0, x'')$ . Определим событие

$$Z = \left\{ \exists \, \tilde{x} \in (x', x'') \ \forall x \in (x_0, \tilde{x}) \ \xi(x) > y, \, \xi(\tilde{x}) = y \right\}$$

и событие

$$L = \{ \exists \, \hat{x} \in (x_0, x''] \ \forall x \in (x_0, \hat{x}) \ \xi(x) > y \}.$$

Событие L означает, что в начальный момент траектория  $\xi(x)$  расположена выше уровня y, а событие Z означает, что первое достижение уровня y происходит в некоторый момент из интервала (x',x'') (см. рис. 1). Требуется найти условную вероятность  $\mathbf{P}\{Z|L\}$  события Z при условии, что произошло событие L.

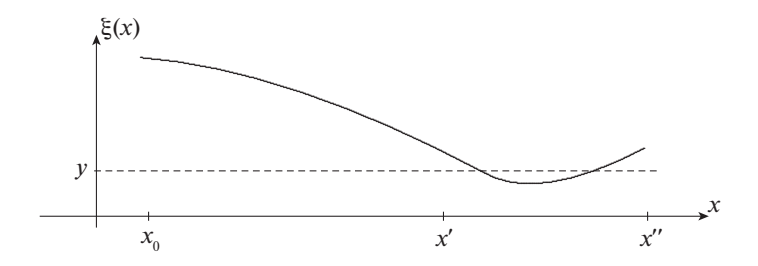


Рис. 1. Некоторая реализация процесса  $\xi(x)$ .

Сформулированная задача является частным случаем задачи, поставленной в [1]. Для немарковских гладких процессов она изучалась, в частности, в авторских публикациях [2–5], а связанные с ней задачи рассматривались во многих известных работах, например [6–13]. Более подробная библиография приведена в [5]. Для диффузионных марковских процессов данная задача может быть сведена к решению смешанной задачи для уравнения в частных производных, что было показано еще в [1]. В настоящей работе, как и в [2–5], рассматривается случай немарковского гладкого случайного процесса  $\xi(x)$ . При этом в [2] — в отличие от [3–5] — предлагается несколько другая процедура формирования нижних оценок искомой вероятности. Настоящая работа продолжает работу [2].

В приложениях поставленная задача возникает при изучении различных стохастических систем (см., например, [14]). Для констатации ее практической важности достаточно упомянуть, что к решению этой задачи сводится проблема вероятностной оценки точности и безопасности посадки самолета (см. [15–19]).

Следуя [10], обозначим через  $G_y(x_0,x'')$  множество скалярных функций, непрерывных на  $[x_0,x'']$  или  $(x_0,x'']$  (в зависимости от того, на каком промежутке –  $[x_0,x'']$  или  $(x_0,x'']$  – определен процесс  $\xi(x)$ ) и таких, которые не совпадают тождественно с y ни на каком подынтервале интервала  $(x_0,x'')$ . Для функций из  $G_y(x_0,x'')$  определим понятия "пересечение уровня y", "касание уровня y", "пересечение уровня y снизу вверх" (upcrossing по терминологии, предложенной в [10]) и "пересечение уровня y сверху вниз" (downcrossing по терминологии, предложенной в [10]) так, как это сделано в [10].

Если<sup>1</sup> 1) с вероятностью 1 выборочные функции  $\xi(x)$  принадлежат множеству  $G_y(x_0,x'')$  и не имеют касаний уровня y, 2) среднее<sup>2</sup> число пересечений  $N(x_0,x'')$  уровня y процессом  $\xi(x)$  на интервале  $(x_0,x'')$  конечно, то, принимая во внимание условие (1), нетрудно показать, что  $\mathbf{P}\{Z|L\} = \mathbf{P}\{Z\}$ , т.е. вместо оценок условной вероятности  $\mathbf{P}\{Z|L\}$  можно заниматься оценками безусловной вероятности  $\mathbf{P}\{Z\}$ .

<sup>1</sup> Достаточные условия выполнения предположений 1) и 2) сформулированы в [2].

<sup>&</sup>lt;sup>2</sup> Термин "среднее" здесь означает математическое ожидание соответствующей случайной величины.

Для процесса  $\xi(x)$  обозначим через  $N^+(x_1,x_2)$  среднее число пересечений уровня y снизу вверх на интервале  $(x_1,x_2)$ , а через  $N^-(x_1,x_2)$  – среднее число пересечений сверху вниз. Через  $m_y(x_1,x_2)$  обозначим среднее число локальных максимумов процесса  $\xi(x)$  на интервале  $(x_1,x_2)$ , расположенных выше уровня y. В [2] получен следующий результат.

Теорема. Предположим, что 1) с вероятностью 1 выборочные функции  $\xi(x)$  принадлежат множеству  $G_y(x_0,x'')$  и не имеют касаний уровня у на интервале  $(x_0,x'')$ ,  $N(x_0,x'')<\infty;$  2)  $\mathbf{P}\{\xi(x')=y\}=0;$  3) условие (1) выполнено. Пусть  $x^*$  – какая-либо точка из интервала  $(x_0,x'')$  такая, что  $\mathbf{P}\{\xi(x^*)=y\}=0,\ m_y(x^*,x'')<\infty$ . Тогда

$$N^{-}(x',x'') - (N^{+}(x_0,x^*) + m_y(x^*,x'')) \leq \mathbf{P}\{Z\} \leq N^{-}(x',x'').$$

Если процесс  $\xi(x)$  дифференцируем в среднеквадратичном, то числа  $N^-(x_1,x_2), N^+(x_1,x_2)$  и  $m_y(x_1,x_2)$  могут быть вычислены по формулам Райса (см., например, [6, 8, 10]):

(2) 
$$N^{-}(x_{1}, x_{2}) = -\int_{x_{1}}^{x_{2}} dx \int_{-\infty}^{0} v f_{x}(y, v) dv,$$

(3) 
$$N^{+}(x_{1}, x_{2}) = \int_{x_{1}}^{x_{1}} dx \int_{0}^{\infty} v f_{x}(y, v) dv,$$

(4) 
$$m_y(x_1, x_2) = -\int_{x_1}^{x_2} dx \int_{y}^{\infty} du \int_{-\infty}^{0} z w_x(u, 0, z) dz,$$

где  $f_x(u,v)$  – плотность совместного распределения случайных величин  $\xi(x)$  и  $\xi'(x)$ ,  $w_x(u,v,z)$  – плотность совместного распределения случайных величин  $\xi(x), \xi'(x)$  и  $\xi''(x)$ . Здесь через  $\xi'(x)$  и  $\xi''(x)$  обозначены первая и вторая производные в среднеквадратичном процесса  $\xi(x)$ .

## 2. Конкретизация для гауссовского процесса

Пусть процесс  $\xi(x)$  определяется формулой

$$\xi(x) = a_1 x + a_0 + \eta(x), \quad x \in (-\infty, x''],$$

где  $a_1 < 0$  и  $a_0$  являются постоянными величинами,  $\eta(x)$  – стационарный центрированный гауссовский процесс с непрерывными реализациями и корреляционной функцией

$$r(\tau) \equiv \mathbf{E}\{\eta(x)\eta(x+\tau)\}/\sigma^2$$

где  $\sigma^2$  — дисперсия процессов  $\xi(x)$  и  $\eta(x)$ ,  $\mathbf{E}$  — знак математического ожидания. Если существует конечная вторая производная r''(0), то процесс  $\xi(x)$ 

будет дифференцируем в среднеквадратичном и можно использовать формулы Райса (2) и (3) для вычисления чисел  $N^-$  и  $N^+$ . Если существует конечная четвертая производная  $r^{IV}(0)$ , то процесс  $\xi(x)$  будет дважды дифференцируем в среднеквадратичном и число  $m_y$  может быть вычислено по формуле Райса (4).

В рассматриваемом случае условия теоремы выполнены, и для любого  $x^*$  из интервала  $(-\infty, x'')$  справедливы неравенства

(5) 
$$N^-(x',x'') - \left(N^+(-\infty,x^*) + m_y(x^*,x'')\right) \leqslant \mathbf{P}\{Z\} \leqslant N^-(x',x''),$$
 где  $N^+(-\infty,x^*) = \lim_{x \to -\infty} N^+(x,x^*).$ 

Обозначим через  $\sigma_1^2$  дисперсию процесса  $\xi'(x)$ , через  $\sigma_2^2$  – дисперсию процесса  $\xi''(x)$ , через  $\rho$  – коэффициент корреляции случайных величин  $\xi(x)$  и  $\xi''(x)$ . Заметим, что

$$\sigma_1^2 = -\sigma^2 r''(0), \quad \sigma_2^2 = \sigma^2 r^{IV}(0), \quad \rho = r''(0) / \sqrt{r^{IV}(0)}.$$

Из этих соотношений следует, что в невырожденном случае (т.е. когда  $\sigma \neq 0$ ,  $\sigma_1 \neq 0$  и  $\sigma_2 \neq 0$ ), который и рассматривается, коэффициент корреляции  $\rho$  может принимать только отрицательные значения.

Для рассматриваемого процесса  $\xi(x)$  формулы для  $f_x(u,v)$  и  $w_x(u,v,z)$  принимают следующий вид<sup>3</sup>:

(6) 
$$f_x(u,v) = \frac{1}{2\pi\sigma\sigma_1} \exp\left\{-\frac{(u-a_0-a_1x)^2}{2\sigma^2} - \frac{(v-a_1)^2}{2\sigma_1^2}\right\},\,$$

(7) 
$$w_x(u, v, z) = \frac{1}{\sqrt{2\pi}\sigma_1} \exp\left\{-\frac{(v - a_1)^2}{2\sigma_1^2}\right\} \frac{1}{2\pi\sigma\sigma_2\sqrt{1 - \rho^2}} \times \exp\left\{-\frac{1}{2(1 - \rho^2)} \left[\frac{(u - a_0 - a_1x)^2}{\sigma^2} - 2\rho\frac{(u - a_0 - a_1x)z}{\sigma\sigma_2} + \frac{z^2}{\sigma_2^2}\right]\right\}.$$

Пусть для определенности y = 0,  $a_0 = 0$  и x'' > 0 (см. рис. 2). Тогда событие Z означает, что первое достижение нулевого уровня процессом  $\xi(x) = a_1x + \eta(x)$  произойдет в какой-либо точке из интервала (x', x'').

Введем параметры $^4$ 

$$\alpha = -a_1/\sigma_1 \quad \text{if} \quad \beta = -a_1 x''/\sigma.$$

<sup>&</sup>lt;sup>3</sup> Поскольку процесс  $\xi(x)$  – гауссовский, то плотности распределения  $f_x(u,v)$  и  $w_x(u,v,z)$  будут гауссовскими (см., например, [10, 15]), т.е.  $f_x(u,v)$  – двумерная, а  $w_x(u,v,z)$  – трехмерная гауссовские плотности распределения. При этом при любом x коэффициент корреляции случайных величин  $\xi(x)$  и  $\xi'(x)$  и коэффициент корреляции случайных величин  $\xi'(x)$  и  $\xi''(x)$  равны нулю в силу стационарности процесса  $\eta(x)$  (см., например, [14, 15]). Эти обстоятельства и приводят к формулам (6) и (7).

<sup>&</sup>lt;sup>4</sup> Физический смысл параметра  $\alpha$  состоит в том, что по его величине можно судить, насколько сильно в среднем наклон реализаций процесса  $\xi(x)$  отличается от наклона его математического ожидания  $\mathbf{E}\{\xi(x)\}$ : при малых  $\alpha$  это отличие велико, а при больших — мало.

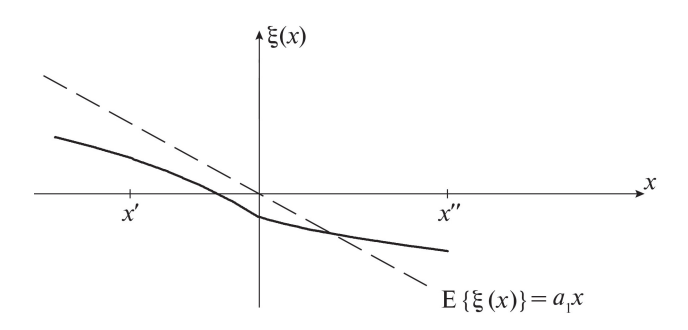


Рис. 2. Пересечение нулевого уровня y=0 некоторой реализацией процесса  $\xi(x)$  и его математическим ожиданием  $\mathbf{E}\{\xi(x)\}$  при  $a_0=0$ .

Тогда (см. Приложение) по формулам (2), (3) и (4) получим

(2') 
$$N^{-}(x', x'') = \left[\frac{1}{\sqrt{2\pi}\alpha} \exp\left\{-\frac{\alpha^2}{2}\right\} + \Phi(\alpha)\right] \left[\Phi(\beta) - \Phi\left(\beta \frac{x'}{x''}\right)\right],$$

(3') 
$$N^{+}(-\infty, x^{*}) = \left[\frac{1}{\sqrt{2\pi}\alpha} \exp\left\{-\frac{\alpha^{2}}{2}\right\} - \Phi(-\alpha)\right] \Phi\left(\beta \frac{x^{*}}{x''}\right),$$

$$m_{y}(x^{*}, x'') = -\frac{\beta}{2\pi\rho\alpha} \exp\left\{-\frac{\alpha^{2}}{2}\right\} \times$$

$$\times \int \left[\Phi\left(-\frac{\beta}{\sqrt{1-\rho^{2}}}v\right) - \rho\Phi\left(-\frac{\rho\beta v}{\sqrt{1-\rho^{2}}}\right) \exp\left\{-\frac{\beta^{2}v^{2}}{2}\right\}\right] dv,$$

где введено следующее обозначение:

(8) 
$$\Phi(z) = \frac{1}{\sqrt{2\pi}} \int_{-\infty}^{z} \exp\{-x^2/2\} dx.$$

#### 3. Исследование точности оценок вероятности

Перепишем неравенства (5) в следующей форме:

$$N^{-}(x', x'') - f(x^{*}) \leq \mathbf{P}\{Z\} \leq N^{-}(x', x''),$$

где

$$f(x^*) = N^+(-\infty, x^*) + m_u(x^*, x''), \quad x^* \in (-\infty, x''].$$

Введем безразмерную переменную  $w=x^*/x^{\prime\prime}$ . Тогда оценки (5) примут вид

(5') 
$$N^{-}(x', x'') - f(w) \leq \mathbf{P}\{Z\} \leq N^{-}(x', x''),$$

108

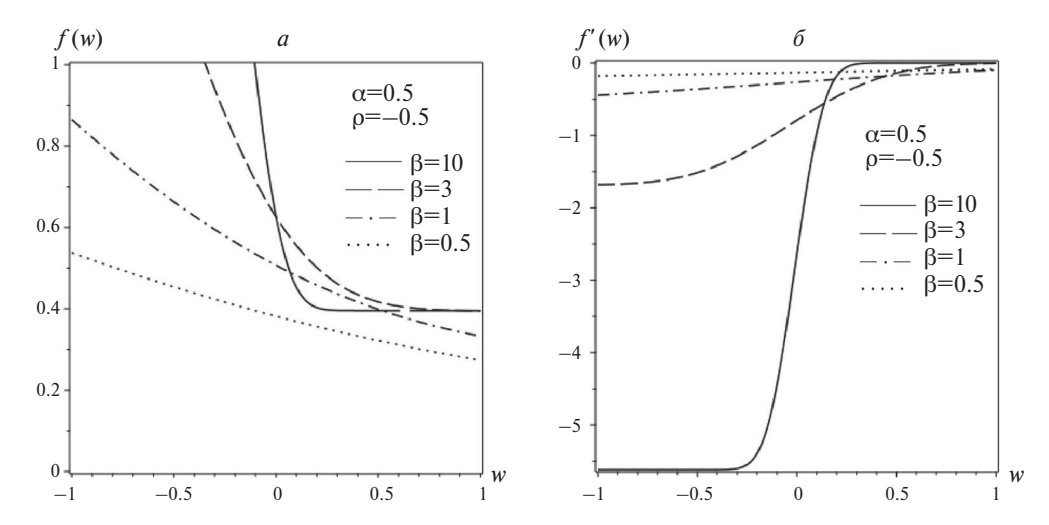


Рис. 3. a – кривые f(w) при различных  $\beta$  в случае  $\alpha=0.5$  и  $\rho=-0.5$ ;  $\delta$  – кривые f'(w) при различных  $\beta$  в случае  $\alpha=0.5$  и  $\rho=-0.5$ .

где  $w \in (-\infty, 1]$  и

$$f(w) = N^{+}(-\infty, w) + m_{y}(w, 1),$$

$$N^{+}(-\infty, w) = \left[\frac{1}{\sqrt{2\pi\alpha}} \exp\left\{-\frac{\alpha^{2}}{2}\right\} - \Phi(-\alpha)\right] \Phi(\beta w),$$

$$m_{y}(w, 1) = -\frac{\beta}{2\pi\rho\alpha} \exp\left\{-\frac{\alpha^{2}}{2}\right\} \int_{w}^{1} \left[\Phi\left(-\frac{\beta}{\sqrt{1-\rho^{2}}}v\right) - -\rho\Phi\left(-\frac{\rho\beta v}{\sqrt{1-\rho^{2}}}\right) \exp\left\{-\frac{\beta^{2}v^{2}}{2}\right\}\right] dv.$$

Исследуем поведение функции f(w) на интервале  $(-\infty, 1]$ . Чем меньше значения f(w), тем более точные оценки вероятности  $\mathbf{P}\{Z\}$  дают неравенства (5').

Будем исследовать поведение функции f(w) в зависимости от трех параметров:  $\alpha$ ,  $\beta$  и  $\rho$ . Интерес представляет промежуток  $w \in [-1,1]$ , поскольку, принимая во внимание физический смысл чисел  $N^+(-\infty,w)$  и  $m_y(w,1)$ , ясно, что при w<-1 функция f(w) будет монотонно убывающей, так что минимальные значения f(w) будут достигаться при w>-1.

На рис. 3,a показано поведение функции f(w) при различных  $\beta$  для  $\alpha=0,5$  и  $\rho=-0,5$ . Оказалось, что для любой комбинации параметров  $\alpha$ ,  $\beta$  и  $\rho$  функция f(w) является монотонно убывающей на промежутке  $(-\infty,1]$ . Этот вывод следует из анализа производной f'(w). Используя известную формулу для производной определенного интеграла с переменными пределами

$$\frac{d}{dt} \int_{\phi_1(t)}^{\phi_2(t)} h(v) dv = -h(\phi_1(t)) \frac{d\phi_1(t)}{dt} + h(\phi_2(t)) \frac{d\phi_2(t)}{dt},$$

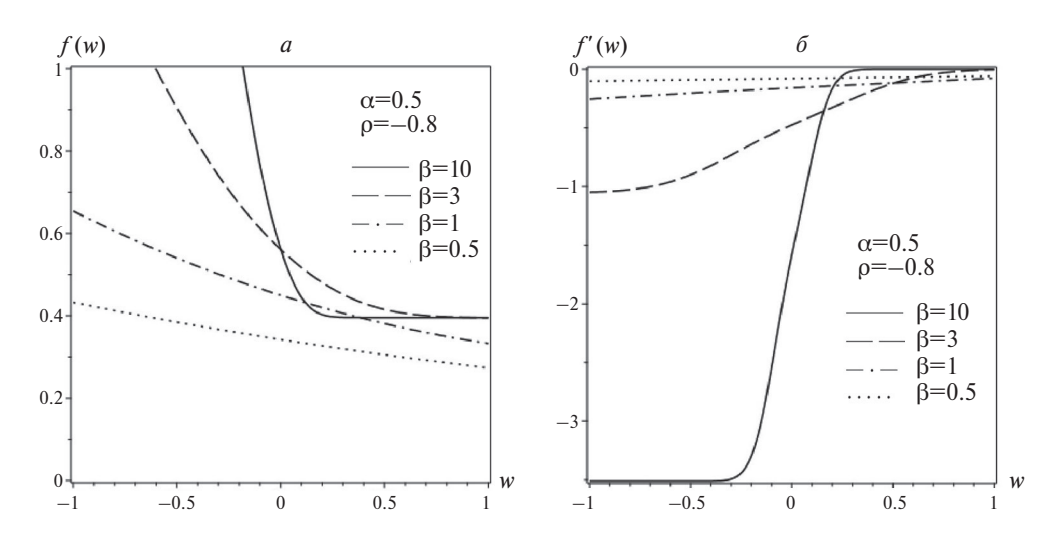


Рис. 4. a – кривые f(w) при различных  $\beta$  в случае  $\alpha = 0.5$  и  $\rho = -0.8$ ;  $\delta$  – кривые f'(w) при различных  $\beta$  в случае  $\alpha = 0.5$  и  $\rho = -0.8$ .

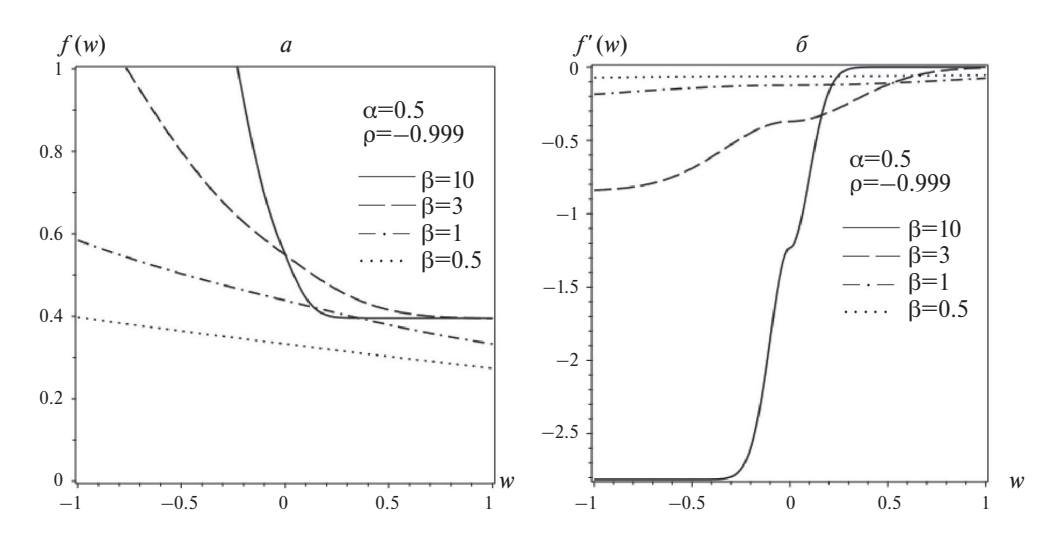


Рис. 5. a – кривые f(w) при различных  $\beta$  в случае  $\alpha=0.5$  и  $\rho=-0.999$ ;  $\delta$  – кривые f'(w) при различных  $\beta$  в случае  $\alpha=0.5$  и  $\rho=-0.999$ .

получим следующее выражение для производной функции f(w):

$$\begin{split} \frac{df(w)}{dw} &= \left[\frac{1}{\sqrt{2\pi}\alpha} \exp\left\{-\frac{\alpha^2}{2}\right\} - \Phi(-\alpha)\right] \frac{1}{\sqrt{2\pi}} \exp\left\{-\frac{\beta^2 w^2}{2}\right\} \beta + \\ &+ \frac{\beta}{2\pi\rho\alpha} \exp\left\{-\frac{\alpha^2}{2}\right\} \left[\Phi\left(-\frac{\beta w}{\sqrt{1-\rho^2}}\right) - \rho\Phi\left(-\frac{\rho\beta w}{\sqrt{1-\rho^2}}\right) \exp\left\{-\frac{\beta^2 w^2}{2}\right\}\right]. \end{split}$$

На рис.  $3, \delta$  показано поведение производной f'(w) при различных  $\beta$  для  $\alpha=0,5$  и  $\rho=-0,5$ . Численные расчеты показали, что f'(w)<0 при всех

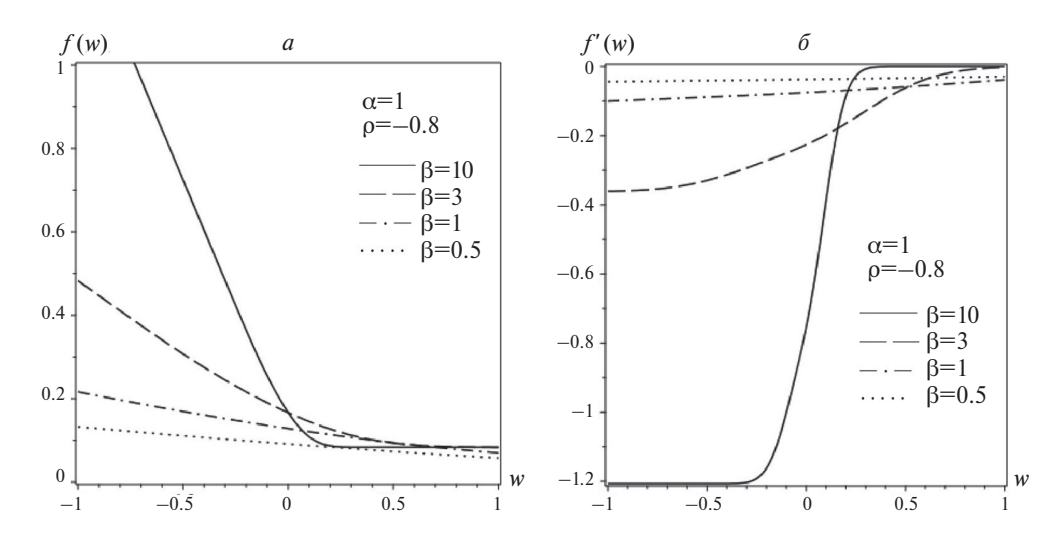


Рис. 6. a – кривые f(w) при различных  $\beta$  в случае  $\alpha = 1$  и  $\rho = -0.8$ ;  $\delta$  – кривые f'(w) при различных  $\beta$  в случае  $\alpha = 1$  и  $\rho = -0.8$ .

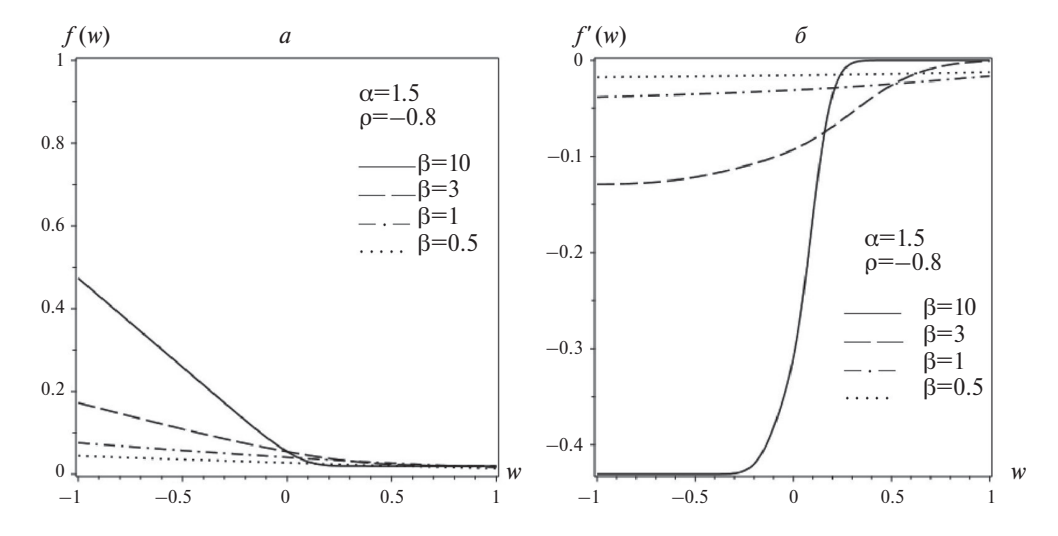


Рис. 7. a – кривые f(w) при различных  $\beta$  в случае  $\alpha=1,5$  и  $\rho=-0,8;$   $\delta$  – кривые f'(w) при различных  $\beta$  в случае  $\alpha=1,5$  и  $\rho=-0,8.$ 

 $w \in (-\infty, 1]$ . Так что минимальные значения функции f(w) достигаются при w=1. Но при этом характер изменения производной f'(w) может сильно зависеть от параметров  $\alpha$ ,  $\beta$  и  $\rho$ . Например, при  $\beta=10$  значения f'(w) ничтожно малы на промежутке от 0,5 до 1, так что f(w) практически не зависит от w на этом промежутке.

Сравнение рис.  $3,a,\ 4,a$  и 5,a показывает, как поведение функции f(w) изменяется в зависимости от изменения коэффициента корреляции  $\rho$ :  $\rho=-0.5$  для рис.  $3,a,\ \rho=-0.8$  для рис. 4,a и  $\rho=-0.999$  для рис. 5,a. Рисунки  $3,6,\ 4,6$  и 5,6 показывают, как изменяются соответствующие произ-

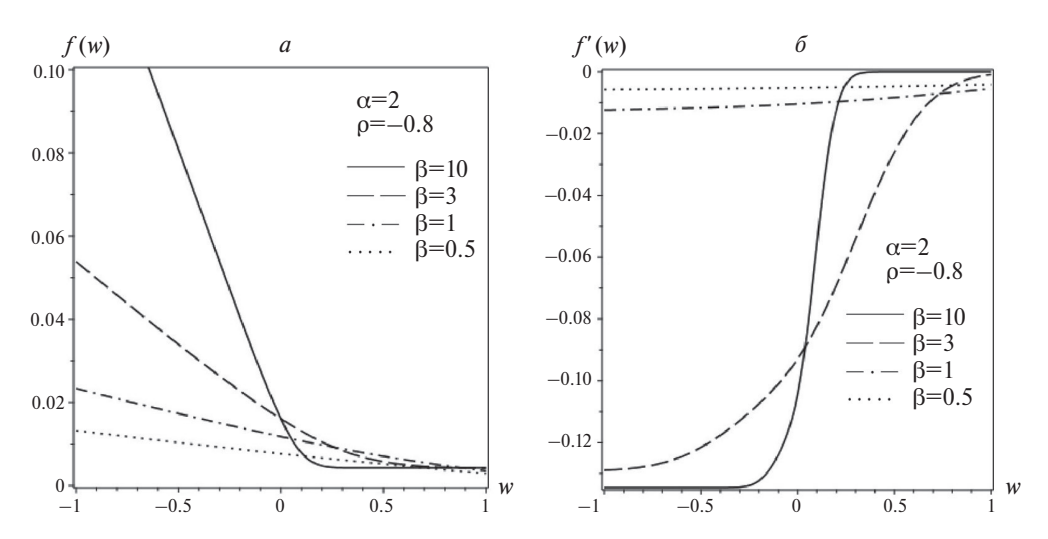


Рис. 8. a – кривые f(w) при различных  $\beta$  в случае  $\alpha=2$  и  $\rho=-0.8;$   $\delta$  – кривые f'(w) при различных  $\beta$  в случае  $\alpha=2$  и  $\rho=-0.8.$ 

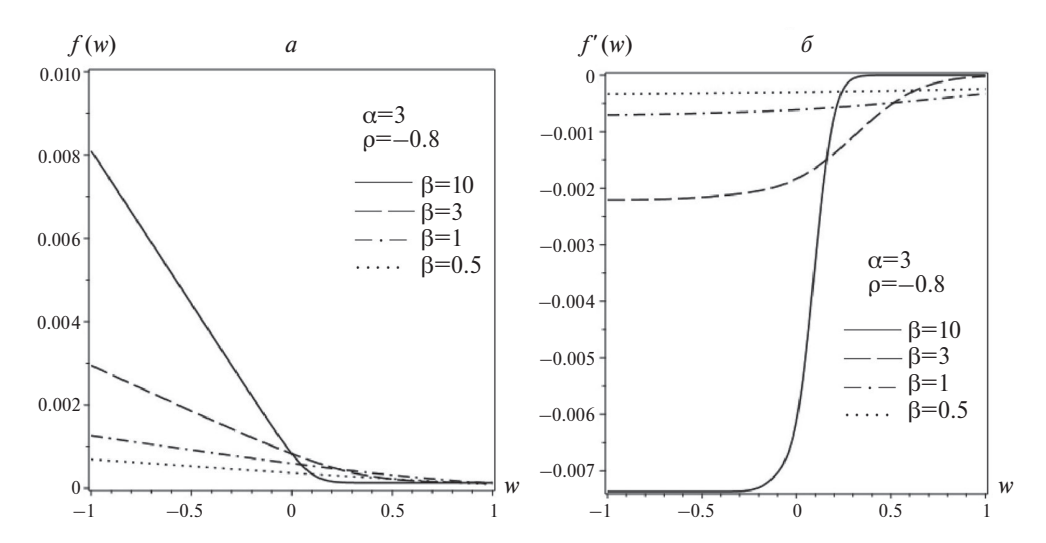


Рис. 9. a – кривые f(w) при различных  $\beta$  в случае  $\alpha=3$  и  $\rho=-0.8;$   $\delta$  – кривые f'(w) при различных  $\beta$  в случае  $\alpha=3$  и  $\rho=-0.8.$ 

водные f'(w). Если w близко к 1, то значения f(w) изменяются очень слабо. Если w меньше 1, то значения f(w) уменьшаются при переходе  $\{\rho=-0,5\} \to \{\rho=-0,8\} \to \{\rho=-0,999\}$ , и это уменьшение тем значительнее, чем меньше w. Причем данный вывод имеет место при всех  $\beta$ .

Сравнение рис.  $4,a,\ 6,a,\ 7,a,\ 8,a$  и 9,a показывает, как изменяется поведение функции f(w) при изменении параметра  $\alpha$ :  $\alpha=0,5$  для рис.  $4,a,\ \alpha=1$  для рис.  $6,a,\ \alpha=1,5$  для рис.  $7,a,\ \alpha=2$  для рис. 8,a и  $\alpha=3$  для рис. 9,a. Рисунки  $4,6,\ 6,6,\ 7,6,\ 8,6$  и 9,6 показывают, как изменяются соответствующие значения f'(w). Видно, что при любом фиксированном  $\beta$  увеличение  $\alpha$  приво-

дит к уменьшению f(w). Если  $\alpha=3$  (см. рис. 9,a), то значения f(w) меньше, чем 0,008, для  $\beta=1$  и  $\beta=3$  и меньше, чем 0,001, для  $\beta=1$  и  $\beta=0,5$ . Для всех рассматриваемых комбинаций значений параметров  $\alpha$ ,  $\beta$  и  $\rho$  минимальное значение функции f(w) достигается при w=1. Отметим также, что при  $\alpha>3$  значения f(w) являются пренебрежимо малыми. В этом случае неравенства (5') позволяют определить вероятность  $\mathbf{P}\{Z\}$  практически точно.

При проведении численных расчетов использовался пакет Maple.

#### 4. Заключение

Для стационарного со сносом гауссовского процесса  $\xi(x)$  специального вида проведен численный анализ полученных в [2] оценок (5) для вероятности  $\mathbf{P}\{Z\}$ , а именно исследована точность этих оценок в зависимости от выбора точки  $x^*$  и параметров  $\alpha$ ,  $\beta$  и  $\rho$ , характеризующих процесс  $\xi(x)$ . Точность оценок даётся величиной  $f(w), w \in (-\infty, 1]$  (см. (5')), где значение w однозначно определяется выбором точки  $x^*$ . Чем меньше f(w), тем точнее определяется искомая вероятность  $\mathbf{P}\{Z\}$ . Оказалось, что для  $\mathit{rayccosckux}$  процессов минимальное значение f(w) получается при w=1 для любой комбинации параметров  $\alpha$ ,  $\beta$  и  $\rho$ . Значения f(w) сильно зависят от параметра  $\alpha$ : чем больше  $\alpha$ , тем меньше f(w). Если  $\alpha > 3$ , то значения f(w) являются пренебрежимо малыми и вероятность  $\mathbf{P}\{Z\}$  определяется практически точно.

#### ПРИЛОЖЕНИЕ

Найдем число  $N^+(x_1, x_2)$  по формуле (3), подставив вместо плотности  $f_x(u, v)$  ее выражение по формуле (6) при u = y. Имеем:

$$N^{+}(x_{1}, x_{2}) = \frac{1}{2\pi\sigma\sigma_{1}} \int_{x_{1}}^{x_{2}} \exp\left\{-\frac{(y - a_{0} - a_{1}x)^{2}}{2\sigma^{2}}\right\} dx \int_{0}^{\infty} v \exp\left\{-\frac{(v - a_{1})^{2}}{2\sigma_{1}^{2}}\right\} dv.$$

Оба интеграла здесь легко вычисляются:

$$\int_{x_1}^{x_2} \exp\left\{-\frac{(y-a_0-a_1x)^2}{2\sigma^2}\right\} dx =$$

$$= -\frac{\sigma}{a_1} \sqrt{2\pi} \left[\Phi\left(\frac{y-a_0-a_1x_2}{\sigma}\right) - \Phi\left(\frac{y-a_0-a_1x_1}{\sigma}\right)\right],$$

$$\int_{0}^{\infty} v \exp\left\{-\frac{(v-a_1)^2}{2\sigma_1^2}\right\} dv = \sigma_1^2 \exp\left\{-\frac{a_1^2}{2\sigma_1^2}\right\} + \sqrt{2\pi}a_1\sigma_1\Phi\left(\frac{a_1}{\sigma_1}\right),$$

где функция  $\Phi(\cdot)$  ранее введена равенством (8). В результате получим:

$$N^{+}(x_{1}, x_{2}) = \left[\frac{\sigma_{1}}{\sqrt{2\pi}a_{1}} \exp\left\{-\frac{a_{1}^{2}}{2\sigma_{1}^{2}}\right\} + \Phi\left(\frac{a_{1}}{\sigma_{1}}\right)\right] \times \left[\Phi\left(\frac{y - a_{0} - a_{1}x_{1}}{\sigma}\right) - \Phi\left(\frac{y - a_{0} - a_{1}x_{2}}{\sigma}\right)\right].$$

Если в этой формуле положить y = 0 и  $a_0 = 0$ , заменить (переобозначить)  $x_2$  на  $x^*$ , ввести обозначения  $\alpha = -a_1/\sigma_1$  и  $\beta = -a_1x''/\sigma$  (как в основном тексте статьи), учесть, что  $a_1 < 0$ , то при  $x_1 \to -\infty$  получим формулу (3').

Аналогично, подставляя вместо плотности  $f_x(u,v)$  ее выражение по формуле (6) при u=y, по формуле (2) находим число  $N^-(x_1,x_2)$ :

$$N^{-}(x_{1}, x_{2}) = \left[\frac{\sigma_{1}}{\sqrt{2\pi}a_{1}} \exp\left\{-\frac{a_{1}^{2}}{2\sigma_{1}^{2}}\right\} - \Phi\left(-\frac{a_{1}}{\sigma_{1}}\right)\right] \times \left[\Phi\left(\frac{y - a_{0} - a_{1}x_{1}}{\sigma}\right) - \Phi\left(\frac{y - a_{0} - a_{1}x_{2}}{\sigma}\right)\right].$$

Если в этой формуле положить y=0 и  $a_0=0$ ,  $x_1$  и  $x_2$  заменить (переобозначить) на x' и x'', ввести обозначения  $\alpha=-a_1/\sigma_1$  и  $\beta=-a_1x''/\sigma$  (как в основном тексте статьи), то получим формулу (2').

Найдем теперь по формуле (4) число  $m_y(x_1,x_2)$ , когда плотность  $w_x(u,0,z)$  вычисляется по формуле (7) при v=0. Вводя новые переменные  $\tilde{u}=u-a_0-a_1x,\ \tilde{z}=z,\ \tilde{x}=x,$  получим

$$m_y(x_1, x_2) = -\int_{x_1}^{x_2} d\tilde{x} \int_{y-a_0-a_1\tilde{x}}^{\infty} d\tilde{u} \int_{-\infty}^{0} \frac{\tilde{z}}{\sqrt{2\pi}\sigma_1} \exp\left\{-\frac{a_1^2}{2\sigma_1^2}\right\} \times \frac{1}{2\pi\sigma\sigma_2\sqrt{1-\rho^2}} \exp\left\{-\frac{1}{2(1-\rho^2)} \left[\frac{\tilde{u}^2}{\sigma^2} - 2\rho\frac{\tilde{u}\tilde{z}}{\sigma\sigma_2} + \frac{\tilde{z}^2}{\sigma_2^2}\right]\right\} d\tilde{z}.$$

После еще одной замены  $\bar{u}=\tilde{u}/\sigma,\,\bar{z}=\tilde{z}/\sigma_2,\,\bar{x}=\tilde{x}$  найдем

$$m_{y}(x_{1}, x_{2}) = -\int_{x_{1}}^{x_{2}} d\bar{x} \int_{\underline{y-a_{0}-a_{1}\bar{x}}}^{\infty} \sigma d\bar{u} \int_{-\infty}^{0} \frac{\sigma_{2}\bar{z}}{\sqrt{2\pi}\sigma_{1}} \exp\left\{-\frac{a_{1}^{2}}{2\sigma_{1}^{2}}\right\} \times \frac{1}{2\pi\sigma\sigma_{2}\sqrt{1-\rho^{2}}} \exp\left\{-\frac{\bar{u}^{2}-2\rho\bar{u}\bar{z}+\bar{z}^{2}}{2(1-\rho^{2})}\right\} \sigma_{2}d\bar{z} = \\ = -\frac{\sigma_{2}(1-\rho^{2})^{-\frac{1}{2}}}{2\pi\sqrt{2\pi}\sigma_{1}} \exp\left\{-\frac{a_{1}^{2}}{2\sigma_{1}^{2}}\right\} \int_{x_{1}}^{x_{2}} d\bar{x} \int_{\underline{y-a_{0}-a_{1}\bar{x}}}^{\infty} \exp\left\{-\frac{\bar{u}^{2}}{2(1-\rho^{2})}\right\} d\bar{u} \times \int_{-\infty}^{0} \bar{z} \exp\left\{-\frac{\bar{z}^{2}-2\rho\bar{u}\bar{z}}{2(1-\rho^{2})}\right\} d\bar{z}.$$

Преобразуем показатель экспоненты в последнем интеграле:

$$-\frac{\bar{z}^2 - 2\rho \bar{u}\bar{z}}{2(1-\rho^2)} = -\frac{(\bar{z} - \rho \bar{u})^2 - \rho^2 \bar{u}^2}{2(1-\rho^2)},$$

после чего сделаем замену переменных

$$\lambda = \bar{u}, \quad \mu = \bar{z} - \rho \bar{u}, \quad \tau = \bar{x}.$$

Получим

$$m_{y}(x_{1}, x_{2}) = -\frac{\sigma_{2}(1 - \rho^{2})^{-\frac{1}{2}}}{2\pi\sqrt{2\pi}\sigma_{1}} \exp\left\{-\frac{a_{1}^{2}}{2\sigma_{1}^{2}}\right\} \times \int_{x_{1}}^{x_{2}} d\tau \int_{\frac{y-a_{0}-a_{1}\tau}{\sigma}}^{\infty} \exp\left\{-\frac{\lambda^{2}}{2(1-\rho^{2})}\right\} d\lambda \int_{-\infty}^{-\rho\lambda} (\mu + \rho\lambda) \exp\left\{-\frac{\mu^{2}-\rho^{2}\lambda^{2}}{2(1-\rho^{2})}\right\} d\mu = \\ = -\frac{\sigma_{2}(1-\rho^{2})^{-\frac{1}{2}}}{2\pi\sqrt{2\pi}\sigma_{1}} \exp\left\{-\frac{a_{1}^{2}}{2\sigma_{1}^{2}}\right\} \int_{x_{1}}^{x_{2}} d\tau \int_{\frac{y-a_{0}-a_{1}\tau}{\sigma}}^{\infty} \exp\left\{-\frac{\lambda^{2}}{2}\right\} d\lambda \times \\ \times \int_{-\infty}^{-\rho\lambda} (\mu + \rho\lambda) \exp\left\{-\frac{\mu^{2}}{2(1-\rho^{2})}\right\} d\mu.$$

Обозначим внутренний интеграл по  $\mu$  через  $g(\lambda)$  и вычислим его:

$$g(\lambda) \equiv \int_{-\infty}^{-\rho\lambda} (\mu + \rho\lambda) \exp\left\{-\frac{\mu^2}{2(1-\rho^2)}\right\} d\mu =$$

$$= -(1-\rho^2) \exp\left\{-\frac{\rho\lambda^2}{2(1-\rho^2)}\right\} + \rho\lambda \int_{-\infty}^{-\rho\lambda} \exp\left\{-\frac{\mu^2}{2(1-\rho^2)}\right\} d\mu,$$

или, используя введенную выше функцию  $\Phi(\cdot)$ ,

$$g(\lambda) = -(1 - \rho^2) \exp\left\{-\frac{\rho \lambda^2}{2(1 - \rho^2)}\right\} + \sqrt{2\pi(1 - \rho^2)}\rho \lambda \Phi\left(-\frac{\rho \lambda}{\sqrt{1 - \rho^2}}\right).$$

Таким образом,

(II.1) 
$$m_y(x_1, x_2) = -\frac{\sigma_2(1 - \rho^2)^{-\frac{1}{2}}}{2\pi\sqrt{2\pi}\sigma_1} \exp\left\{-\frac{a_1^2}{2\sigma_1^2}\right\} \int_{r_1}^{x_2} I(\tau)d\tau,$$

где обозначено

$$I(\tau) = I_1(\tau) + I_2(\tau),$$

$$I_1(\tau) = \int_{\frac{y-a_0-a_1\tau}{\sigma}}^{\infty} -(1-\rho^2) \exp\left\{-\frac{\lambda^2}{2(1-\rho^2)}\right\} d\lambda,$$

$$I_2(\tau) = \int_{\frac{y-a_0-a_1\tau}{\sigma}}^{\infty} \sqrt{2\pi(1-\rho^2)} \rho \lambda \exp\left\{-\frac{\lambda^2}{2}\right\} \Phi\left(-\frac{\rho\lambda}{\sqrt{1-\rho^2}}\right) d\lambda.$$

Используя формулу интегрирования по частям, приводим  $I_2(\tau)$  к виду

$$I_2(\tau) = \sqrt{2\pi(1-\rho^2)}\rho\Phi\left(-\frac{\rho(y-a_0-a_1\tau)}{\sigma\sqrt{1-\rho^2}}\right)\exp\left\{-\frac{(y-a_0-a_1\tau)^2}{2\sigma^2}\right\} - \rho^2\int_{\frac{y-a_0-a_1\tau}{\sigma}}^{\infty}\exp\left\{-\frac{\lambda^2}{2(1-\rho^2)}\right\}d\lambda,$$

что позволяет для  $I(\tau)$  выписать следующее равенство:

$$I(\tau) = -\int_{\frac{y-a_0-a_1\tau}{\sigma}}^{\infty} \exp\left\{-\frac{\lambda^2}{2(1-\rho^2)}\right\} d\lambda +$$

$$+\sqrt{2\pi(1-\rho^2)}\rho\Phi\left(-\frac{\rho(y-a_0-a_1\tau)}{\sigma\sqrt{1-\rho^2}}\right) \exp\left\{-\frac{(y-a_0-a_1\tau)^2}{2\sigma^2}\right\}.$$

Выражая здесь первое слагаемое через введенную выше функцию  $\Phi(\cdot)$ , найдем

$$-\int_{\frac{y-a_0-a_1\tau}{\sigma}}^{\infty} \exp\left\{-\frac{\lambda^2}{2(1-\rho^2)}\right\} d\lambda = -\sqrt{2\pi(1-\rho^2)} \left[1 - \Phi\left(\frac{y-a_0-a_1\tau}{\sigma\sqrt{1-\rho^2}}\right)\right],$$

откуда в соответствии с  $(\Pi.1)$  получаем для  $m_y(x_1,x_2)$  следующее равенство:

$$m_y(x_1, x_2) = -\frac{\sigma_2}{2\pi\sigma_1} \exp\left\{-\frac{a_1^2}{2\sigma_1^2}\right\} \times$$

$$\times \int_{x_1}^{x_2} \left[-1 + \Phi\left(\frac{y - a_0 - a_1\tau}{\sigma\sqrt{1 - \rho^2}}\right) + \rho\Phi\left(-\frac{\rho(y - a_0 - a_1\tau)}{\sigma\sqrt{1 - \rho^2}}\right) \exp\left\{-\frac{(y - a_0 - a_1\tau)^2}{2\sigma^2}\right\}\right] d\tau.$$

Полагая здесь y=0 и  $a_0=0$ , переобозначив  $x_1$  на  $x^*$  и  $x_2$  на x'', а также учитывая тождество  $1-\Phi(z)=\Phi(-z)$ , найдем

$$m_y(x^*, x'') = \frac{\sigma_2}{2\pi\sigma_1} \exp\left\{-\frac{a_1^2}{2\sigma_1^2}\right\} \times$$

$$\times \int_{x^*}^{x''} \left[\Phi\left(\frac{a_1\tau}{\sigma\sqrt{1-\rho^2}}\right) - \rho\Phi\left(\frac{\rho a_1\tau}{\sigma\sqrt{1-\rho^2}}\right) \exp\left\{-\frac{(a_1\tau)^2}{2\sigma^2}\right\}\right] d\tau,$$

или, после введения новой переменной интегрирования  $\nu = \tau/x''$ ,

$$m_y(x^*, x'') = \frac{\sigma_2 x''}{2\pi\sigma_1} \exp\left\{-\frac{a_1^2}{2\sigma_1^2}\right\} \times$$

$$\times \int_{x^*/x''}^{1} \left[\Phi\left(\frac{a_1 x'' \nu}{\sigma \sqrt{1 - \rho^2}}\right) - \rho \Phi\left(\frac{\rho a_1 x'' \nu}{\sigma \sqrt{1 - \rho^2}}\right) \exp\left\{-\frac{(a_1 \nu x'')^2}{2\sigma^2}\right\}\right] d\nu.$$

Если теперь ввести обозначения  $\alpha = -a_1/\sigma_1$  и  $\beta = -a_1x''/\sigma$  (как в основном тексте статьи), то получим формулу (4').

#### СПИСОК ЛИТЕРАТУРЫ

- 1. Понтрягин Л.С., Андронов А.А., Витт А.А. О статистическом рассмотрении динамических систем // Журнал экспериментальной и теоретической физики. 1933. Т. 3. № 3. С. 165–180.
- 2. Semakov S.L., Semakov I.S. Estimating the probability that a random process first reaches the boundary of a region on a given time interval // Proc. 2018 IEEE 57th Conference on Decision and Control (CDC-2018), Miami Beach, USA, 2018. P. 256–261.
- 3. Семаков С.Л. Вероятность первого достижения уровня компонентом многомерного процесса на заданном промежутке с соблюдением ограничений на его другие компоненты // Теория вероятностей и ее применения. 1989. Т. 34. № 2. С. 402–406.
- 4. Семаков С.Л., Семаков И.С. Вероятность первого достижения уровня случайным процессом на заданном промежутке // АиТ. 2019. № 3. С. 83–102.
- 5. Semakov S.L. The first achievement of a given level by a random process // IEEE Transactions on Information Theory. 2024. V. 70. No. 10. P. 7162–7178.
- 6. Rice S.O. Mathematical analysis of random noise // The Bell System Technical Journal. 1944. V. 23. No. 3. P. 282–332; 1945. V. 24. No. 1. P. 46–156.
- 7. Itô K. The expected number of zeros of continuous stationary Gaussian processes // Journal of Mathematics of Kyoto University. 1964. V. 3. No. 2. P. 207–221.
- 8. Leadbetter M.R. On crossings of levels and curves by a wide class of stochastic processes // Annals of Mathematical Statistics. 1966. V. 37. No. 1. P. 260–267.
- 9. *Беляев Ю.К.* О числе пересечений уровня гауссовским случайным процессом I, II // Теория вероятностей и ее применения. 1966. Т. 11. № 1. С. 120–128; 1967. Т. 12. № 3. С. 444–457.
- 10. *Крамер Г., Лидбеттер М.* Стационарные случайные процессы. М.: Мир, 1969.
- 11. Pickands J. Upcrossing probabilities for stationary Gaussian processes // Transactions of the American Mathematical Society. 1969. V. 145. P. 51–73.
- 12. Blake I., Lindsey W. Level-crossings problems for random processes // IEEE Transactions on Information Theory. 1973. V. 19. No. 3. P. 295–315.
- 13. Hüsler J. Extreme values and high boundary crossings of locally stationary Gaussian processes // Annals of Probability. 1990. V. 18. No. 3. P. 1141–1158.
- 14. Тихонов В.И. Выбросы случайных процессов. М.: Наука, 1970.

- 15. *Семаков С.Л.* Выбросы случайных процессов: приложения в авиации. М.: Наука, 2005.
- 16. Semakov S.L., Semakov I.S. Estimating the probability of safe landing for aircrafts // Proc. 2019 IEEE 58th Conference on Decision and Control (CDC-2019), Nice, France, 2019. P. 2568–2573.
- 17. Semakov S.L., Semakov I.S. Method of calculating the probability of a safe landing for ship-based aircraft // IEEE Transactions on Aerospace and Electronic Systems. 2022. V. 58. No. 6. P. 5425–5442.
- 18. *Семаков С.Л.*, *Семакова М.В.* Управление тягой при посадке самолета на корабль // АиТ. 2023. № 3. С. 126–138.
- 19. Semakov S.L. Crossings problems in random processes theory and their applications in aviation. Newcastle, UK: Cambridge Scholars Publishing, 2nd edition, 2024.

Статья представлена к публикации членом редколлегии А.В. Назиным.

Поступила в редакцию 16.04.2025

После доработки 17.06.2025

Принята к публикации 03.10.2025